

一类3-D非线性系统的稳定性分析及函数观测器设计

王璐¹, 徐慧玲^{2†}

(1. 南京理工大学自动化学院, 江苏南京 210094; 2. 南京理工大学理学院, 江苏南京 210094)

摘要: 本文首先研究了一类3-D非线性系统的稳定性问题, 在此基础上, 利用秩条件和线性矩阵不等式(LMI)方法, 得到了这类系统的渐近函数观测器存在的充分条件, 并给出了函数观测器的设计方法. 最后, 通过算例来说明这种方法是可行且有效的.

关键词: 3-D系统; 非线性系统; LMI方法; 函数观测器

中图分类号: TP273 **文献标识码:** A

Stability analysis and design of functional observers for a class of three-dimensional nonlinear systems

WANG Lu¹, XU Hui-ling^{2†}

(1. School of Automation, Nanjing University of Science and Technology, Nanjing Jiangsu 210094, China;

2. School of Science, Nanjing University of Science and Technology, Nanjing Jiangsu 210094, China)

Abstract: This paper firstly studies the stability condition for a class of three-dimensional (3-D) nonlinear systems, and based on this, a sufficient condition for the existence of an asymptotic functional observer is given in terms of a rank condition and a linear matrix inequality (LMI). A systematic design method is then presented for the design of functional observers. Finally, two examples are provided to illustrate the effectiveness of the proposed design method.

Key words: 3-D systems; nonlinear systems; linear matrix inequality (LMI); functional observers

1 引言(Introduction)

在最近几十年中, 多维系统在图像处理, 医学应用, 热处理等许多领域的应用越来越广泛, 这吸引了越来越多的关注和重视^[1-3]. 对于多维系统的研究, 通常是建立在Roesser模型及Fornasini-Marchedini模型等传统模型的基础上, 但是在最近数年, 空间连接系统模型也受到越来越多的关注^[4]. 在以传统模型描述的线性系统领域里, 状态估计和观测器设计问题一直都是重要课题, 已经有了相当的发展^[5], 特别是2-D系统, 取得了很多的成果. 文献[6-7]从频域的角度分别提出了渐近观测器和未知输入观测器的设计方法; 文献[8]运用几何理论研究了未知输入函数观测器问题; 文献[9]利用秩条件和LMI方法给出了2-D FMII 模型的渐近函数观测器的设计方法, 文献[10]研究了2-D FMII 模型的未知输入观测器的设计方法.

在实际系统中, 非线性因素是普遍存在的, 但是对于非线性系统的研究相对比较复杂, 尤其对于多维非线性系统, 研究起来更为困难. 文献[11]研究了具有溢出非线性的2-D系统的稳定性条件. 最近, 文献[12]在文献[11]的基础上, 研究了一类2-D非线性系统的未

知输入观测器的设计问题, 使得对于2-D非线性系统的研究更进一步. 然而对于更高维非线性系统的观测器的设计问题, 目前尚未见文献报道, 主要困难在于稳定性分析方面. 本文通过对高维非线性系统边界条件的分析, 得到了一类3-D非线性系统的稳定性条件, 并在此基础上借鉴文献[9]的方法给出了此类系统函数观测器设计方法.

在本文中, 对于对称矩阵 X, Y , 记号 $X > Y$ 表示矩阵 $X - Y$ 为正定矩阵, I 是具有适当维数的单位阵, 上标“ T ”表示矩阵的转置. 简便起见, 本文用“ $*$ ”表示对称矩阵的对称块, A^+ 表示矩阵 A 的伪逆, $\text{diag}\{\cdot\}$ 表示一个块对角矩阵. 如果没有特殊说明, 文中的矩阵都假定具有合适的维数.

2 问题的描述(Problem statement)

考虑如下的3-D非线性系统:

$$\begin{aligned} (\Sigma) : x_{k+1,l+1,m+1} = & \\ & A_1 x_{k,l+1,m+1} + A_2 x_{k+1,l,m+1} + \\ & A_3 x_{k+1,l+1,m} + B_1 u_{k,l+1,m+1} + \\ & B_2 u_{k+1,l,m+1} + B_3 u_{k+1,l+1,m} + \end{aligned}$$

$$Lf(\zeta_{k,l+1,m+1}, \zeta_{k+1,l,m+1}, \zeta_{k+1,l+1,m}), \quad (1)$$

$$y_{k,l,m} = Cx_{k,l,m}, \quad (2)$$

$$\zeta_{k,l,m} = Dx_{k,l,m}, \quad (3)$$

其中: $x_{k,l,m} \in \mathbb{R}^n$ 为局部状态向量; $u_{k,l,m} \in \mathbb{R}^p$ 和 $y_{k,l,m} \in \mathbb{R}^q$ 分别为已知输入和测量输出; $\zeta_{k,l,m} \in \mathbb{R}^r$ 为待估的函数向量, 且 $r \leq n$; $A_i, B_i (i = 1, 2, 3), L, D$ 和 C 均为适当维数的实矩阵. 不失一般性, 假定 C 和 D 为行满秩矩阵. 另外, $f(\zeta_{k,l+1,m+1}, \zeta_{k+1,l,m+1}, \zeta_{k+1,l+1,m})$ 为非线性项, 满足如下的假设:

假设 1 设 $f(\zeta_{k,l+1,m+1}, \zeta_{k+1,l,m+1}, \zeta_{k+1,l+1,m})$ 满足下面的条件:

$$\begin{aligned} & \|f(\zeta_{k,l+1,m+1}^1, \zeta_{k+1,l,m+1}^1, \zeta_{k+1,l+1,m}^1) - \\ & f(\zeta_{k,l+1,m+1}^2, \zeta_{k+1,l,m+1}^2, \zeta_{k+1,l+1,m}^2)\| \leq \\ & \lambda_1 \|\zeta_{k,l+1,m+1}^1 - \zeta_{k,l+1,m+1}^2\| + \\ & \lambda_2 \|\zeta_{k+1,l,m+1}^1 - \zeta_{k+1,l,m+1}^2\| + \\ & \lambda_3 \|\zeta_{k+1,l+1,m}^1 - \zeta_{k+1,l+1,m}^2\|, \end{aligned}$$

其中: $\lambda_i > 0, i = 1, 2, 3,$

$$\zeta_{k,l+1,m+1}^i, \zeta_{k+1,l,m+1}^i, \zeta_{k+1,l+1,m}^i \in \mathbb{R}^r, i = 1, 2.$$

对于系统 (Σ) , 假定边界条件为: 存在3个正整数 M_1, M_2 和 M_3 , 使得

$$\begin{cases} x_{0,l,m} = 0, & l + m \geq M_1, \\ x_{k,0,m} = 0, & k + m \geq M_2, \\ x_{k,l,0} = 0, & k + l \geq M_3. \end{cases} \quad (4)$$

本文首先研究满足假设1的3-D非线性系统 (Σ) 在边界条件(4)下的稳定性问题, 并且在此基础上给出此类系统的函数观测器的设计方法.

3 3-D系统的稳定性分析(Stability analysis of 3-D systems)

本节研究3-D非线性系统 (Σ) 的稳定性问题. 首先, 考虑如下的3-D非线性系统 (Σ_0) :

$$\begin{aligned} & x_{k+1,l+1,m+1} = \\ & F(x_{k,l+1,m+1}, x_{k+1,l,m+1}, x_{k+1,l+1,m}) = \\ & A_1 x_{k,l+1,m+1} + A_2 x_{k+1,l,m+1} + A_3 x_{k+1,l+1,m} + \\ & Lf(\zeta_{k,l+1,m+1}, \zeta_{k+1,l,m+1}, \zeta_{k+1,l+1,m}), \end{aligned} \quad (5)$$

其中: $\zeta_{k,l,m}$ 如式(3)所确定, 初始条件同(4).

参考文献[1], 首先给出以下定义:

定义 1 称点 x_e 为系统 (Σ_0) 的平衡点, 如果点 $x_e \in \mathbb{R}^n$ 满足 $x_e = F(x_e, x_e, x_e)$. 进而, 如果存在一个实数 $r > 0$, 使得开球

$$B(x_e, r) := \{x \in \mathbb{R}^n : \|x - x_e\| < r\}$$

只包含 x_e 一个平衡点, 则称点 x_e 为孤立平衡点.

不失一般性, 假设 $x_e = 0$ 且为孤立平衡点.

定义 2 称系统 (Σ_0) 的平衡点 $x_e = 0$ 是稳定的 (李雅普诺夫意义下), 如果对于任意的 $\epsilon > 0$, 都存在一个 $\delta = \delta(\epsilon) > 0$, 使得对于所有的 $k, l, m \geq 0$, 当初始状态满足

$$\begin{cases} \|x_{0,l,m}\| < \delta, & 0 \leq l + m \leq M_1, \\ \|x_{k,0,m}\| < \delta, & 0 \leq k + m \leq M_2, \\ \|x_{k,l,0}\| < \delta, & 0 \leq k + l \leq M_3, \end{cases} \quad (6)$$

都有 $\|x_{k,l,m}\| < \epsilon$, 其中 M_1, M_2, M_3 同式(4).

定义 3 称系统 (Σ_0) 的平衡点 $x_e = 0$ 是全局渐近稳定的, 如果 x_e 是稳定的, 并且对于满足初始条件(4)的系统 (Σ_0) 有 $\lim_{k+l+m \rightarrow \infty} x_{k,l,m} = 0$.

定义 4^[7] 称连续函数 $\phi: [0, r] \rightarrow \mathbb{R}^+ := [0, \infty)$ (或者, $\phi: \mathbb{R}^+ \rightarrow \mathbb{R}^+$) 为 K 函数, 即 $\phi \in K$. 如果满足 $\phi(0) = 0$ 且在 $[0, r]$ 上 (或者在 \mathbb{R}^+ 上) 是严格递增的. 如果 $\phi: \mathbb{R}^+ \rightarrow \mathbb{R}^+, \phi \in K$, 且 $\lim_{r \rightarrow \infty} \phi(r) = \infty$, 则称 ϕ 为 KR 函数.

定义 5^[7] 称连续函数 $v: \mathbb{R}^n \rightarrow \mathbb{R}$ 为正定函数, 如果 v 满足

- 1) $v(0) = 0$;
- 2) 存在一个 $\phi \in K$, 使得对于所有的 $x \in B(r) = \{x \in \mathbb{R}^n : \|x\| < r\} (r > 0)$, 都有 $v(x) \geq \phi(\|x\|)$.

下面给出后面将会用到的引理.

引理 1^[13] 对于任意的 $x, y \in \mathbb{R}^n$ 和正定矩阵 $P \in \mathbb{R}^{n \times n}$, 都有

$$2x^T y \leq x^T P x + y^T P^{-1} y.$$

为了分析系统 (Σ_0) 的平衡点 $x_e = 0$ 的稳定性, 特做如下假设.

假设 2 假定系统 (Σ_0) 存在一个正定且径向无界的函数 $V(x_{k,l,m}): \mathbb{R}^n \rightarrow \mathbb{R}$, 并且使得对于所有的 $[x_{k,l+1,m+1}^T, x_{k+1,l,m+1}^T, x_{k+1,l+1,m}^T]^T \neq 0$, 都有

$$\begin{aligned} & \Delta V(k, l, m) := \\ & V(F(x_{k,l+1,m+1}, x_{k+1,l,m+1}, x_{k+1,l+1,m})) - \\ & \alpha V(x_{k,l+1,m+1}) - \beta V(x_{k+1,l,m+1}) - \\ & \gamma V(x_{k+1,l+1,m}) < 0, \end{aligned} \quad (7)$$

其中: $\alpha > 0, \beta > 0, \gamma > 0$, 并且满足 $\alpha + \beta + \gamma = 1$, $F(x_{k,l+1,m+1}, x_{k+1,l,m+1}, x_{k+1,l+1,m})$ 如式(5)所示.

引理 2 假定系统 (Σ_0) 的边界条件如式(4)(6)所确定, 则对任意的 $\epsilon > 0$, 可以找到一个 $\delta > 0$, 使得

$$\max_{0 \leq d \leq \max\{M_1, M_2, M_3\}} \left\{ \sum_{(k,l,m) \in D(d)} V(x_{k,l,m}) \right\} < \epsilon,$$

其中函数 V 满足假设(2). d 是任一正整数, $D(d)$ 做如下定义:

$$D(d) := \{(k, l, m) : k + l + m = d, k, l, m \geq 0\}. \quad (8)$$

证 首先, 假定系统(Σ_0)的边界条件如式(4)所确定的那样, 并且对于 $\delta_1 > 0$, 当 $0 \leq l + m \leq M_1$ 时, 有 $\|x_{0,l,m}\| < \delta_1$; 当 $0 \leq k + m \leq M_2$ 时, 有 $\|x_{k,0,m}\| < \delta_1$; 当 $0 \leq k + l \leq M_3$ 时, 有 $\|x_{k,l,0}\| < \delta_1$. 接下来将证明对任意的 $d > 0$, 都有

$$\max_{(k,l,m) \in D(d)} \|x_{k,l,m}\| \leq (3a)^{d-1} \delta_1. \quad (9)$$

要证明式(9), 只需考虑 $k, l, m > 0$ 的情况, 因为当 k, l, m 有一个为零时, 都有 $\|x_{k,l,m}\| \leq \delta_1$. 因此可知, 当 $d = 1$ 时, 式(9)成立. 假定当 $d = t$ 时, 式(9)成立, 即

$$\max_{(k,l,m) \in D(t)} \|x_{k,l,m}\| \leq (3a)^{t-1} \delta_1. \quad (10)$$

注意到当 $d = t + 1$ 时,

$$\{(k-1, l, m), (k, l-1, m), (k, l, m-1)\} \in D(t),$$

因此, 对任意 $(k, l, m) \in D(t+1)$, $k, l, m > 0$, 都有

$$\begin{aligned} \|x_{k,l,m}\| &= \|A_1 x_{k-1,l,m} + A_2 x_{k,l-1,m} + A_3 x_{k,l,m-1} + \\ &Lf(\zeta_{k-1,l,m}, \zeta_{k,l-1,m}, \zeta_{k,l,m-1})\| \leq \\ &(\|A_1\| + \lambda_1 \|L\| \|D\|) \|x_{k-1,l,m}\| + \\ &(\|A_2\| + \lambda_2 \|L\| \|D\|) \|x_{k,l-1,m}\| + \\ &(\|A_3\| + \lambda_3 \|L\| \|D\|) \|x_{k,l,m-1}\|. \end{aligned} \quad (11)$$

令 $a = \max\{1, (\|A_i\| + \lambda_i \|L\| \|D\|)\} (i = 1, 2, 3)$, 可以得到

$$\begin{aligned} \|x_{k,l,m}\| &\leq a(\|x_{k-1,l,m}\| + \|x_{k,l-1,m}\| + \|x_{k,l,m-1}\|) \leq \\ &3a \cdot (3a)^{t-1} \delta_1 = (3a)^{d-1} \delta_1. \end{aligned} \quad (12)$$

因此, 对任意的 $d > 0$, 式(9)成立. 故对所有的 $0 \leq d \leq \max\{M_1, M_2, M_3\}$, 有

$$\max_{(k,l,m) \in D(d)} \|x_{k,l,m}\| \leq (3a)^{T-2} \delta_1,$$

其中 $T = \max\{M_1, M_2, M_3\} + 1$. 对于给定的 $\varepsilon > 0$, 能够找到一个 $\delta_2 > 0$, 使得当 $\|x_{k,l,m}\| < \delta_2$ 时, 有 $V(x_{k,l,m}) < \varepsilon/T$. 选择

$$\delta = \min\left\{\delta_1, \frac{\delta_2}{(3a)^{T-2}}\right\},$$

那么, $\|x_{0,l,m}\| < \delta (0 \leq l + m \leq M_1)$, $\|x_{k,0,m}\| < \delta (0 \leq k + m \leq M_2)$ 和 $\|x_{k,l,0}\| < \delta (0 \leq k + l \leq M_3)$ 就意味着

$$\max_{0 \leq d \leq \max\{M_1, M_2, M_3\}} \left\{ \max_{(k,l,m) \in D(d)} \|x_{k,l,m}\| \right\} \leq \delta_2.$$

进一步推导可以得出

$$\max_{0 \leq d \leq \max\{M_1, M_2, M_3\}} \left\{ \sum_{(k,l,m) \in D(d)} V(x_{k,l,m}) \right\} < \varepsilon.$$

证毕.

根据上面的结论, 可以得出下面的定理.

定理 1 如果假设式(2)成立, 3-D非线性系统(Σ_0)的平衡点 $x_e = 0$ 是全局渐近稳定的.

证 首先, 假定存在一个正定且径向无界的函数 $V(x_{k,l,m}) : \mathbb{R}^n \rightarrow \mathbb{R}$, 使得对于所有的 $[x_{k,l+1,m+1}^T, x_{k+1,l,m+1}^T, x_{k+1,l+1,m}^T]^T \neq 0$, 有

$$\begin{aligned} \Delta V(k, l, m) &= V(F(x_{k,l+1,m+1}, x_{k+1,l,m+1}, x_{k+1,l+1,m})) - \\ &\alpha V(x_{k,l+1,m+1}) - \beta V(x_{k+1,l,m+1}) - \\ &\gamma V(x_{k+1,l+1,m}) < 0, \end{aligned}$$

(13)

其中: $\alpha > 0, \beta > 0, \gamma > 0$ 且满足 $\alpha + \beta + \gamma = 1$. 故

$$\begin{aligned} V(x_{k+1,l+1,m+1}) &= V(F(x_{k,l+1,m+1}, x_{k+1,l,m+1}, x_{k+1,l+1,m})) < \\ &\alpha V(x_{k,l+1,m+1}) + \beta V(x_{k+1,l,m+1}) + \\ &\gamma V(x_{k+1,l+1,m}). \end{aligned}$$

对任意 $d \geq \max\{M_1, M_2, M_3\}$, 由式(13)并考虑到

$$\begin{aligned} \alpha + \beta + \gamma &= 1, \\ x(0, d, 1) &= x(d, 0, 1) = x(0, 1, d) = \\ x(1, 0, d) &= x(1, d, 0) = x(d, 1, 0) = \\ x(0, 1, d-1) &= x(0, d-1, 1) = x(1, d-1, 0) = \\ x(1, 0, d-1) &= x(d-1, 1, 0) = x(d-1, 0, 1) = 0, \end{aligned}$$

可得到

$$\begin{aligned} \sum_{(k,l,m) \in D(d)} V(x_{k,l,m}) &= \alpha V(x_{0,1,d-1}) + \beta V(x_{1,0,d-1}) + \gamma V(x_{1,1,d-2}) + \\ &\alpha V(x_{0,2,d-2}) + \beta V(x_{1,1,d-2}) + \gamma V(x_{1,2,d-3}) + \\ &\dots + \alpha V(x_{0,d-1,1}) + \beta V(x_{1,d-2,1}) + \\ &(\gamma + \alpha + \beta) V(x_{1,d-1,0}) + \dots + \beta V(x_{d-1,0,1}) + \\ &\gamma V(x_{d-1,1,0}) + (\alpha + \beta) V(x_{d-1,1,0}) + \\ &(\alpha + \gamma) V(x_{d-1,0,1}) + V(x_{d,0,0}) \geq \\ &V(x_{1,1,d-1}) + V(x_{1,2,d-2}) + \dots + V(x_{1,d-1,1}) + \\ &V(x_{2,1,d-2}) + V(x_{2,2,d-3}) + \dots + V(x_{2,d-2,1}) + \\ &V(x_{3,1,d-3}) + V(x_{3,2,d-4}) + \dots + V(x_{3,d-3,1}) + \\ &\dots + V(x_{d-2,1,2}) + V(x_{d-2,2,1}) + V(x_{d-1,1,1}) = \\ &\sum_{k+l+m=d+1} V(x_{k,l,m}). \end{aligned} \quad (14)$$

由此可得出

$$\lim_{k+l+m \rightarrow \infty} x_{k,l,m} = 0. \quad (15)$$

考虑任意给定的 $\varepsilon > 0$. 由于 V 是径向无界的正定函数, 故存在一个函数 $\phi_1 \in KR$ 使得对所有满足 $\|x\| < \varepsilon + 1$ 的 x , 都有 $V(0) = 0$ 且 $V(x) \geq \phi_1(\|x\|)$. 根据引理2, 可以选取一个足够小的 $\delta > 0$, 使得当

$\|x_{0,l,m}\| < \delta(0 \leq l + m \leq M_1)$, $\|x_{k,0,m}\| < \delta(0 \leq k + m \leq M_2)$ 和 $\|x_{k,l,0}\| < \delta(0 \leq k + l \leq M_3)$ 时,

$$\max_{0 \leq d \leq \max\{M_1, M_2, M_3\}} \left\{ \sum_{(k,l,m) \in D(d)} V(x_{k,l,m}) \right\} < \phi_1(\varepsilon). \tag{16}$$

由式(14)(16)可得出, 对所有的 $d \geq 0$,

$$\sum_{(k,l,m) \in D(d)} V(x_{k,l,m}) < \phi_1(\varepsilon). \tag{17}$$

因此, 对所有的 $M_1 \geq 0, M_2 \geq 0$ 及 $M_3 \geq 0, \|x_{k,l,m}\|$ 都不能达到 ε . 因为如果 $\|x_{k,l,m}\| = \varepsilon$, 则

$$V(x_{k,l,m}) \geq \phi_1(\|x_{k,l,m}\|) = \phi_1(\varepsilon),$$

这就与式(17)矛盾. 所以, 系统 (Σ_0) 的平衡点 $x_e = 0$ 是稳定的. 根据式(15)和定义3. 证毕.

下面的定理给出了3-D非线性系统 (Σ_0) 的渐近稳定的充分条件.

定理 2 系统 (Σ_0) 的平衡点 $x_e = 0$ 是全局渐近稳定的, 如果存在矩阵 $P > 0$, 标量 $\alpha > 0, \beta > 0, \gamma > 0, \varepsilon > 0$ 且满足 $\alpha + \beta + \gamma = 1$, 使得

$$\bar{A}^T P \bar{A} - \bar{Q} < 0, \tag{18}$$

其中: $\bar{A} := [A_1 \ A_2 \ A_3 \ L]$, 并且 $\bar{Q} := \text{diag}\{\alpha P - 2\varepsilon\lambda_D\lambda_1^2 I_n, \beta P - 2\varepsilon\lambda_D\lambda_2^2 I_n, \gamma P - 2\varepsilon\lambda_D\lambda_3^2 I_n, \varepsilon I_n\}$, λ_D 为 $D^T D$ 的最大特征值.

证 假定存在一个矩阵 $P > 0$ 和标量 $\alpha > 0, \beta > 0, \gamma > 0, \varepsilon > 0$ 满足 $\alpha + \beta + \gamma = 1$, 使得LMI(18)成立. 对于3-D非线性系统 (Σ_0) , 选取径向无界的正定Lyapunov函数 $V(x) = x^T P x$, 则

$$\begin{aligned} \Delta V(k, l, m) := & V(F(x_{k,l+1,m+1}, x_{k+1,l,m+1}, x_{k+1,l+1,m})) - \\ & \alpha V(x_{k,l+1,m+1}) - \beta V(x_{k+1,l,m+1}) - \\ & \gamma V(x_{k+1,l+1,m}) = \\ & (A_1 x_{k,l+1,m+1} + A_2 x_{k+1,l,m+1} + A_3 x_{k+1,l+1,m})^T P \times \\ & (A_1 x_{k,l+1,m+1} + A_2 x_{k+1,l,m+1} + A_3 x_{k+1,l+1,m}) + \\ & 2(A_1 x_{k,l+1,m+1} + A_2 x_{k+1,l,m+1} + A_3 x_{k+1,l+1,m})^T \times \\ & PL f(\zeta_{k,l+1,m+1}, \zeta_{k+1,l,m+1}, \zeta_{k+1,l+1,m}) + \\ & \varepsilon f^T(\zeta_{k,l+1,m+1}, \zeta_{k+1,l,m+1}, \zeta_{k+1,l+1,m}) \times \\ & f(\zeta_{k,l+1,m+1}, \zeta_{k+1,l,m+1}, \zeta_{k+1,l+1,m}) - \\ & f^T(\zeta_{k,l+1,m+1}, \zeta_{k+1,l,m+1}, \zeta_{k+1,l+1,m}) \times \\ & (\varepsilon I - L^T P L) \times \\ & f(\zeta_{k,l+1,m+1}, \zeta_{k+1,l,m+1}, \zeta_{k+1,l+1,m}) - \\ & x_{k,l+1,m+1}^T \alpha P x_{k,l+1,m+1} - x_{k+1,l,m+1}^T \beta P x_{k+1,l,m+1} - \\ & x_{k+1,l+1,m}^T \gamma P x_{k+1,l+1,m}. \end{aligned} \tag{19}$$

根据引理1和假设1, 可得出

$$\Delta V(k, l, m) \leq$$

$$\begin{aligned} & (A_1 x_{k,l+1,m+1} + A_2 x_{k+1,l,m+1} + A_3 x_{k+1,l+1,m})^T P \times \\ & (A_1 x_{k,l+1,m+1} + A_2 x_{k+1,l,m+1} + A_3 x_{k+1,l+1,m}) + \\ & (A_1 x_{k,l+1,m+1} + A_2 x_{k+1,l,m+1} + A_3 x_{k+1,l+1,m})^T \times \\ & PL(\varepsilon I - L^T P L)^{-1} L^T P \times \\ & (A_1 x_{k,l+1,m+1} + A_2 x_{k+1,l,m+1} + A_3 x_{k+1,l+1,m}) + \\ & x_{k,l+1,m+1}^T (2\varepsilon\lambda_D\lambda_1^2 I_n - \alpha P) x_{k,l+1,m+1} + \\ & x_{k+1,l,m+1}^T (2\varepsilon\lambda_D\lambda_2^2 I_n - \beta P) x_{k+1,l,m+1} + \\ & x_{k+1,l+1,m}^T (2\varepsilon\lambda_D\lambda_3^2 I_n - \gamma P) x_{k+1,l+1,m} = \\ & \begin{bmatrix} x_{k,l+1,m+1} \\ x_{k+1,l,m+1} \\ x_{k+1,l+1,m} \end{bmatrix}^T S \begin{bmatrix} x_{k,l+1,m+1} \\ x_{k+1,l,m+1} \\ x_{k+1,l+1,m} \end{bmatrix}, \end{aligned} \tag{20}$$

其中

$$\begin{aligned} S = & \begin{bmatrix} A_1^T \\ A_2^T \\ A_3^T \end{bmatrix} P [A_1 \ A_2 \ A_3] + \begin{bmatrix} A_1^T P L \\ A_2^T P L \\ A_3^T P L \end{bmatrix} \times \\ & (\varepsilon I - L^T P L)^{-1} [L^T P A_1 \ L^T P A_2 \ L^T P A_3]^T - \\ & \text{diag}\{\alpha P - 2\varepsilon\lambda_D\lambda_1^2 I_n, \beta P - 2\varepsilon\lambda_D\lambda_2^2 I_n, \\ & \gamma P - 2\varepsilon\lambda_D\lambda_3^2 I_n\}. \end{aligned}$$

根据Schur补定理, 式(18)等价于 $S < 0$, 这也等价于 $\Delta V(k, l, m) \leq 0$, 且只有在

$$[x_{k,l+1,m+1}^T \ x_{k+1,l,m+1}^T \ x_{k+1,l+1,m}^T]^T = 0$$

时等号成立. 根据定理1, 可以得出系统 (Σ_0) 的平衡点 $x_e = 0$ 是全局渐近稳定的. 证毕.

在定理2中, 令 $\alpha P = Q_1, \beta P = Q_2$, 则 $\gamma P = P - Q_1 - Q_2$. 这样, 可以得到如下的定理.

定理 3 系统 (Σ_0) 的平衡点 $x_e = 0$ 是全局渐近稳定的, 如果存在矩阵 $P > 0, Q_1 > 0, Q_2 > 0$ 和标量 $\varepsilon > 0$, 使得

$$\bar{A}^T P \bar{A} - \bar{Q} < 0, \tag{21}$$

其中: $\bar{A} := [A_1 \ A_2 \ A_3 \ L]$, $\bar{Q} := \text{diag}\{Q_1 - 2\varepsilon\lambda_D\lambda_1^2 I_n, Q_2 - 2\varepsilon\lambda_D\lambda_2^2 I_n, P - Q_1 - Q_2 - 2\varepsilon\lambda_D\lambda_3^2 I_n, \varepsilon I_n\}$.

4 非线性函数观测器的存在性及设计(Existence and design for nonlinear functional observers)

本小节在定理3的基础上研究给定系统 (Σ) 的非线性函数观测器的存在性和设计问题.

首先, 考虑如下的3-D函数观测器 $(\hat{\Sigma})$:

$$\begin{aligned} z_{k+1,l+1,m+1} = & F_1 z_{k,l+1,m+1} + F_2 z_{k+1,l,m+1} + F_3 z_{k+1,l+1,m} + \\ & H_1 y_{k,l+1,m+1} + H_2 y_{k+1,l,m+1} + \\ & H_3 y_{k+1,l+1,m} + G_1 u_{k,l+1,m+1} + \end{aligned}$$

$$G_2 u_{k+1,l,m+1} + G_3 u_{k+1,l+1,m} + \hat{\Gamma} f(\hat{\zeta}_{k,l+1,m+1}, \hat{\zeta}_{k+1,l,m+1}, \hat{\zeta}_{k+1,l+1,m}), \quad (22)$$

$$\hat{\zeta}_{k,l,m} = z_{k,l,m} + M y_{k,l,m}, \quad (23)$$

其中: 向量 $z_{k,l,m} \in \mathbb{R}^r$ 为函数观测器的状态向量, $\hat{\zeta}_{k,l,m} \in \mathbb{R}^r$ 为 $\zeta_{k,l,m}$ 的渐近估计, 另外, $f(\hat{\zeta}_{k,l+1,m+1}, \hat{\zeta}_{k+1,l,m+1}, \hat{\zeta}_{k+1,l+1,m})$ 为非线性项, $\hat{\Gamma}$ 和 M 为待定的具有合适维数的常值矩阵. 对于3-D系统($\hat{\Sigma}$), 边界条件满足: 存在3个正整数 $\xi_i (i = 1, 2, 3)$, 使得

$$\begin{cases} z_{0,l,m} = 0, & l + m \geq \xi_1, \\ z_{k,0,m} = 0, & k + m \geq \xi_2, \\ z_{k,l,0} = 0, & k + l \geq \xi_3. \end{cases} \quad (24)$$

估计误差记作 $e_{k,l,m} := \zeta_{k,l,m} - \hat{\zeta}_{k,l,m}$. 下面给出一个系统(Σ)的3-D渐近函数观测器的定义.

定义 6 称系统($\hat{\Sigma}$)是系统(Σ)的一个渐近函数观测器, 如果系统的边界条件分别满足式(4)和式(24), 则对于任意的一个已知的输入序列 $u_{k,l,m}$, 都有

$$\lim_{k+l+m \rightarrow \infty} e_{k,l,m} = 0.$$

因此, 函数观测器($\hat{\Sigma}$)的设计问题可以归结为: 找到具有适当维数的矩阵 $F_k, H_k, G_k (k = 1, 2, 3)$, $\hat{\Gamma}$ 和 M , 使得 $\hat{\zeta}_{k,l,m}$ 渐近收敛于 $\zeta_{k,l,m}$. 为此, 通过对系统(Σ)和($\hat{\Sigma}$)的观测器误差动态系统进行分析, 可以得到下面的结论.

引理 3 系统(Σ)和($\hat{\Sigma}$)如式(1)–(2)及(22)–(23)给定, 则系统($\hat{\Sigma}$)是系统(Σ)的一个渐近函数观测器, 如果下面的条件成立:

- a) $\Gamma A_i - F_i \Gamma - H_i C = 0, i = 1, 2, 3;$
- b) $G_i = \Gamma B_i, i = 1, 2, 3;$
- c) $\hat{\Gamma} := \Gamma L;$
- d) 下面的系统的平衡点是全局渐近稳定的:

$$e_{k+1,l+1,m+1} = F_1 e_{k,l+1,m+1} + F_2 e_{k+1,l,m+1} + F_3 e_{k+1,l+1,m} + \Gamma L [f(\zeta_{k,l+1,m+1}, \zeta_{k+1,l,m+1}, \zeta_{k+1,l+1,m}) - f(\hat{\zeta}_{k,l+1,m+1}, \hat{\zeta}_{k+1,l,m+1}, \hat{\zeta}_{k+1,l+1,m})], \quad (25)$$

其中 $\Gamma = D - MC$.

证 容易看到, 如果条件a)–c)成立, 结合系统(Σ)和($\hat{\Sigma}$)得到的观测器误差动态系统就可以化简为系统(25). 当条件d)成立时, 观测器估计误差 $e_{k,l,m}$ 就会渐近收敛于零, 系统($\hat{\Sigma}$)是系统(Σ)的一个渐近函数观测器. 证毕.

下面的定理提供一个基于系统(Σ)的系数矩阵的渐近函数观测器存在性的充分条件.

定理 4 系统(Σ)存在一个渐近函数观测器, 如果下列条件成立:

$$1) \quad \text{rank} S_1 = \text{rank} S_2, \quad (26)$$

其中:

$$S_1^T = \begin{bmatrix} A_1^T C^T & C^T & 0 & 0 & A_1^T D^T & D^T & 0 & 0 \\ A_2^T C^T & 0 & C^T & 0 & A_2^T D^T & 0 & D^T & 0 \\ A_3^T C^T & 0 & 0 & C^T & A_3^T D^T & 0 & 0 & D^T \end{bmatrix},$$

$$S_2^T = \begin{bmatrix} A_1^T C^T & C^T & 0 & 0 & D^T & 0 & 0 \\ A_2^T C^T & 0 & C^T & 0 & 0 & D^T & 0 \\ A_3^T C^T & 0 & 0 & C^T & 0 & 0 & D^T \end{bmatrix}.$$

2) 存在一个矩阵 Θ , 使得下面的系统的平衡点是全局渐近稳定的:

$$e_{k+1,l+1,m+1} = (\hat{A}_1 - \Theta \hat{C}_1) e_{k,l+1,m+1} + (\hat{A}_2 - \Theta \hat{C}_2) e_{k+1,l,m+1} + (\hat{A}_3 - \Theta \hat{C}_3) e_{k+1,l+1,m} + (\hat{A}_0 - \Theta \hat{C}_0) \times [f(\zeta_{k,l+1,m+1}, \zeta_{k+1,l,m+1}, \zeta_{k+1,l+1,m}) - f(\hat{\zeta}_{k,l+1,m+1}, \hat{\zeta}_{k+1,l,m+1}, \hat{\zeta}_{k+1,l+1,m})], \quad (27)$$

其中:

$$\hat{A}_i = D A_i D^+ - \Phi \Omega^+ \begin{bmatrix} C A_i D^+ \\ Y_i C D^+ \end{bmatrix}, \quad (28)$$

$$\hat{C}_i = (I_{4q} - \Omega \Omega^+) \begin{bmatrix} C A_i D^+ \\ Y_i C D^+ \end{bmatrix}, \quad (29)$$

$$\hat{A}_0 = D L - \Phi \Omega^+ \begin{bmatrix} Y_1 \\ 0_q \end{bmatrix} C L, \quad (30)$$

$$\hat{C}_0 = (I_{4q} - \Omega \Omega^+) \begin{bmatrix} Y_1 \\ 0_q \end{bmatrix} C L, \quad (31)$$

$$\Phi = [D \bar{A}_1 \quad D \bar{A}_2 \quad D \bar{A}_3], \quad (32)$$

$$\Omega = \begin{bmatrix} C \bar{A}_1 & C \bar{A}_2 & C \bar{A}_3 \\ \bar{C} & 0 & 0 \\ 0 & \bar{C} & 0 \\ 0 & 0 & \bar{C} \end{bmatrix}, \quad (33)$$

$$Y_1 := \begin{bmatrix} I_q \\ 0_q \\ 0_q \end{bmatrix}, \quad Y_2 := \begin{bmatrix} 0_q \\ I_q \\ 0_q \end{bmatrix}, \quad Y_3 := \begin{bmatrix} 0_q \\ 0_q \\ I_q \end{bmatrix}, \quad (34)$$

$$\bar{C} = C(I_n - D^+ D), \quad (35)$$

$$\bar{A}_i = A_i(I_n - D^+ D), \quad i = 1, 2, 3. \quad (36)$$

证 根据引理3, 一旦找到矩阵 $M, H_i, F_i (i = 1, 2, 3)$ 满足引理3中的条件a)和c), 那么引理3中的条件b)随之成立, 这样就可求出 $G_i (i = 1, 2, 3)$. 令

$$\Lambda := [D^+ \quad (I_n - D^+ D)]. \quad (37)$$

易知 Λ 是行满秩矩阵. 则引理3中a)成立当且仅当

$$(\Gamma A_i - F_i \Gamma - H_i C) \Lambda = 0, \quad i = 1, 2, 3, \quad (38)$$

这也等价于下面两式同时成立:

$$(\Gamma A_i - F_i \Gamma - H_i C)(I_n - D^+ D) = 0, \quad (39)$$

$$(\Gamma A_i - F_i \Gamma - H_i C)D^+ = 0, \quad i = 1, 2, 3. \quad (40)$$

将 $\Gamma = D - MC$ 代入式(39)和(40), 且令

$$X := [M \ H_1 - F_1 M \ H_2 - F_2 M \ H_3 - F_3 M], \quad (41)$$

则等式(39)可以写作

$$X \Omega = \Phi, \quad (42)$$

其中 Ω 和 Φ 如式(32)–(33)所确定.

等式(40)可以写作

$$F_i = D A_i D^+ - X \begin{bmatrix} C A_i D^+ \\ Y_i C D^+ \end{bmatrix}, \quad i = 1, 2, 3, \quad (43)$$

$\hat{\Gamma}$ 可以由下式确定:

$$\hat{\Gamma} := \Gamma L = D L - X \begin{bmatrix} Y_1 \\ 0_q \end{bmatrix} C L, \quad (44)$$

其中 Y_i 如式(34)所定义.

注意到, 如果矩阵方程(42)有解, 则式(43)–(44)随之可得. 因此, 引理3中的条件b)和c)成立等价于矩阵方程(42)有解.

根据文献[13], 矩阵方程(42)有解当且仅当

$$\text{rank} \begin{bmatrix} \Omega \\ \Phi \end{bmatrix} = \text{rank} \Omega, \quad (45)$$

令 $\hat{\Lambda} := \text{diag}\{\Lambda, \Lambda\}$, 其中 Λ 如(37)所定义. 那么, 等式(26)的左边等价于

$$\text{rank} S_1 = \text{rank} S_1 \hat{\Lambda} = 3r + \text{rank} \begin{bmatrix} \Omega \\ \Phi \end{bmatrix}. \quad (46)$$

同理, 等式(26)的右边等价于

$$\text{rank} S_2 = \text{rank} S_2 \hat{\Lambda} = 3r + \text{rank} \Omega. \quad (47)$$

因此, 由式(45)–(47)可知, 矩阵方程(42)有解, 即引理3中的条件a)成立, 当且仅当式(26)成立. 进一步, 假定条件(26)成立, 则矩阵方程(42)的通解为

$$X = \Phi \Omega^+ + \Theta(I_{4q} - \Omega \Omega^+), \quad (48)$$

其中 Θ 是任意的具有适当维数的矩阵.

把式(48)代入式(43)–(44), 可得

$$F_i = \hat{A}_i - \Theta \hat{C}_i, \quad i = 1, 2, 3, \quad (49)$$

$$\hat{\Gamma} = \hat{A}_0 - \Theta \hat{C}_0, \quad (50)$$

其中: $Y_i, \hat{A}_i, \hat{C}_i, \hat{A}_0$ 和 \hat{C}_0 如式(28)–(31)以及式(34)所定义.

由此, 可以得到形如(27)的观测器估计误差系统. 根据引理3中的条件d), 如果存在一个矩阵 Θ , 使得系统(27)的平衡点是全局渐近稳定的, 那么, 系统($\hat{\Sigma}$)是系统(Σ)的一个渐近的函数观测器. 即本定理的条

件b)成立. 证毕.

易知在满足条件(26)的情况下, 函数观测器($\hat{\Sigma}$)的设计问题可以归结为找到一个满足定理4的条件b)的矩阵 Θ 的问题. 下面的定理利用LMI方法给出关于矩阵 Θ 存在的一个充分条件, 并提出一个针对给定非线性系统的函数观测器的有效的设计方法.

定理5 假定条件(26)成立. 则系统($\hat{\Sigma}$)是系统(Σ)的一个渐近的函数观测器, 若存在矩阵 $P > 0, Q_1 > 0, Q_2 > 0, Z$ 和标量 $\varepsilon > 0$ 使得

$$\begin{bmatrix} -Q_1 + 2\varepsilon \lambda_D \lambda_1^2 I_n & * \\ 0 & -Q_2 + 2\varepsilon \lambda_D \lambda_2^2 I_n \\ 0 & 0 \\ 0 & 0 \\ P \hat{A}_1 - Z \hat{C}_1 & P \hat{A}_2 - Z \hat{C}_2 \\ * & * & * \\ * & * & * \\ * & * & P_0 + 2\varepsilon \lambda_D \lambda_3^2 I_n \\ -\varepsilon I & * & 0 \\ P \hat{A}_0 - Z \hat{C}_0 & -P & P \hat{A}_3 - Z \hat{C}_3 \end{bmatrix} < 0, \quad (51)$$

其中: $\hat{A}_i, \hat{C}_i (i = 0, 1, 2, 3)$ 如式(28)–(31)所确定,

$$P_0 := -P + Q_1 + Q_2.$$

在这种情况下, 令 $\Theta := P^{-1}Z$. 则矩阵方程(42)有一个解 $X = \Phi \Omega^+ + \Theta(I - \Omega \Omega^+)$, 期望的函数观测器($\hat{\Sigma}$)的系数矩阵 $M, \hat{\Gamma}, H_i, F_i$ 及 $G_i (i = 1, 2, 3)$ 可以如下设计:

$$M = X \begin{bmatrix} Y_1 \\ 0_q \end{bmatrix}, \quad (52)$$

$$\hat{\Gamma} = \hat{A}_0 - \Theta \hat{C}_0, \quad (53)$$

$$F_i = \hat{A}_i - \Theta \hat{C}_i, \quad (54)$$

$$H_i = F_i M + X \begin{bmatrix} 0_q \\ Y_i \end{bmatrix}, \quad (55)$$

$$G_i = (D - MC)B_i, \quad (56)$$

其中 $Y_i (i = 1, 2, 3)$ 如式(34)所定义.

证 由假定知式(26)成立, 则矩阵方程(42)有通解 $X = \Phi \Omega^+ + \Theta(I - \Omega \Omega^+)$, 其中 Θ 为具有适当维数的任意矩阵. 从式(49)–(50)知

$$F_i = \hat{A}_i - \Theta \hat{C}_i, \quad i = 1, 2, 3, \quad (57)$$

$$\hat{\Gamma} = \hat{A}_0 - \Theta \hat{C}_0, \quad (58)$$

其中: \hat{A}_i, \hat{C}_i 如式(28)–(31)所定义.

接下来要找到一个使定理4的条件(b)成立的 Θ .

假定存在矩阵 $P > 0, Q_1 > 0, Q_2 > 0, Z$ 和 $\varepsilon > 0$ 使得式(51)成立. 令 $\Theta := P^{-1}Z$. 则 $Z = P\Theta$. 将其代入式(51), 由式(57)–(58)并根据定理3和Schur补定理, 易知系统($\hat{\Sigma}$)是(Σ)的一个渐近函数观测器. 因此找到

了一个符合条件的 Θ . 从而得到了矩阵方程(42)的一个解 $X = \Phi\Omega^+ + P^{-1}Z(I - \Omega\Omega^+)$, 进而得到期望的函数观测器的系数矩阵 $M, H_i, G_i (i = 1, 2, 3)$ 如式(52)(55)–(56)所定义. 证毕.

2-D系统是3-D系统的特例, 由定理4和定理5很容易推导出非线性2-D系统函数观测器的存在条件及设计方法, 在此予以省略.

5 算例(Examples)

下面给出两个例子来说明给定非线性系统的函数观测器的设计.

例1 考虑带有如下系数的非线性3-D系统:

$$A_1 = \begin{bmatrix} 0.6 & -0.3 \\ 0.3 & 0 \end{bmatrix}, A_2 = \begin{bmatrix} 0.3 & -0.6 \\ 0 & -0.3 \end{bmatrix},$$

$$A_3 = \begin{bmatrix} 0 & 0.3 \\ 0.3 & 0 \end{bmatrix}, B_1 = \begin{bmatrix} 1 \\ 2 \end{bmatrix}, B_2 = \begin{bmatrix} 0 \\ 1 \end{bmatrix},$$

$$B_3 = \begin{bmatrix} 1 \\ 1 \end{bmatrix}, C = [1 \ 0.2],$$

$$L = \begin{bmatrix} 1.3 \\ 0.8 \end{bmatrix}, D = [0.5 \ -0.2].$$

令

$$f(\zeta_{k,l+1,m+1}, \zeta_{k+1,l,m+1}, \zeta_{k+1,l+1,m}) = 6 \sin(\zeta_{k,l+1,m+1} + \zeta_{k+1,l,m+1} + \zeta_{k+1,l+1,m}),$$

则 $\lambda_1 = \lambda_2 = \lambda_3 = 6$. 容易看出, 假设1和条件(26)满足, 根据定理(5), 可以得到如下的函数观测器:

$$(\hat{\Sigma}) : z_{k+1,l+1,m+1} = 0.1579z_{k,l+1,m+1} + 0.0632z_{k+1,l,m+1} - 0.2053z_{k+1,l+1,m} - 0.014y_{k,l+1,m+1} + 0.0358y_{k+1,l,m+1} - 0.0499y_{k+1,l+1,m} - 0.3882u_{k,l+1,m+1} - 0.2697u_{k+1,l,m+1} - 0.1184u_{k+1,l+1,m} - 0.0191 \times f(\hat{\zeta}_{k,l+1,m+1}, \hat{\zeta}_{k+1,l,m+1}, \hat{\zeta}_{k+1,l+1,m}),$$

$$\hat{\zeta}_{k,l,m} = z_{k,l,m} + 0.3487y_{k,l,m}.$$

下面是一个2-D非线性系统的算例, 该算例是在文献[9]算例的基础上加了一定的非线性因素, 通过仿真便于直观了解所提供方法的合理性.

例2 考虑带有如下系数的2-D线性系统

$$A_1 = \begin{bmatrix} 0.4 & 0 & 0 \\ 0.2 & 0 & 0 \\ 0 & 0 & 1.2 \end{bmatrix}, A_2 = \begin{bmatrix} 0 & 0 & 0 \\ 0 & 1.4 & 0 \\ 0 & 0 & 0 \end{bmatrix},$$

$$B_1 = \begin{bmatrix} 0.2 \\ 0 \\ 0 \end{bmatrix}, B_2 = \begin{bmatrix} 0 \\ 0.4 \\ 1 \end{bmatrix},$$

$$C = [1 \ 1 \ 0], D = [0 \ 1 \ 0].$$

根据文献[9]可知, 该线性系统不存在任何渐近状态观测器. 令

$$L = [1.3 \ 0.6 \ 3.1]^T,$$

$$f(\zeta_{k,l+1}, \zeta_{k+1,l}) = 6 \sin(\zeta_{k,l+1} + \zeta_{k+1,l}),$$

则 $\lambda_1 = \lambda_2 = 6$. 容易验证: 系统满足假设1和条件(26), 函数观测器可以如下设计:

$$(\hat{\Sigma}) : z_{k+1,l+1} = -0.0101z_{k,l+1} + 0.9569z_{k+1,l} + 0.0069y_{k,l+1} + 0.3029y_{k+1,l} - 0.0633u_{k,l+1} + 0.2734u_{k+1,l} - 0.0014f(\hat{\zeta}_{k,l+1}, \hat{\zeta}_{k+1,l}),$$

$$\hat{\zeta}_{k,l} = z_{k,l} + 0.3165y_{k,l}.$$

令已知输入为 $u_{k,l} = \sin(k - l)$, 初始条件如下:

$$x_{k,0} = \begin{cases} [\cos k \ 0.1 \ 0]^T, & 0 < k \leq 60, \\ 0, & \text{其他}, \end{cases}$$

$$z_{k,0} = \begin{cases} \sin(-k), & 0 < k \leq 60, \\ 0, & \text{其他}, \end{cases}$$

$$x_{0,l} = \begin{cases} [0 \ \cos l \ 0.1]^T, & 0 < l \leq 60, \\ 0, & \text{其他}, \end{cases}$$

$$z_{0,l} = \begin{cases} \sin l, & 0 < l \leq 60, \\ 0, & \text{其他}, \end{cases}$$

估计误差 $e_{k,l} (k, l = 0, 1, \dots, 100)$ 如图1所示, 从图中容易看出估计误差确实渐近收敛到零.

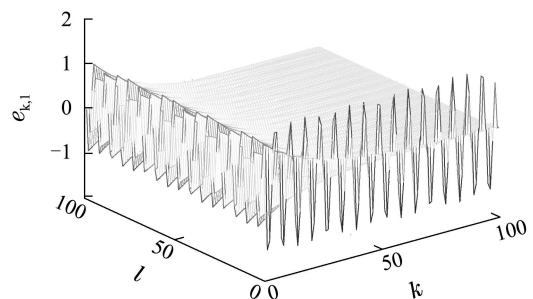


图1 估计误差 $e_{k,l}$
Fig. 1 Estimation error $e_{k,l}$

6 结论(Conclusions)

本文主要研究了一类3-D非线性系统的渐近函数观测器的设计方法. 主要贡献在于:

- 1) 给出了一类3-D非线性系统全局渐近稳定性的充分条件;
- 2) 利用秩条件和LMI方法, 提供了一种渐近函数观测器的设计方法.

参考文献(References):

- [1] LIU D, MICHEL A N. Stability analysis of state-space realizations for two-dimensional filters with overflow nonlinearities [J]. *IEEE Transactions on Circuits and Systems I*, 1994, 41(2): 127 – 137.
- [2] XIE C, DU C, SOH YC, et al. H_∞ and robust control of 2-D systems in FM second model [J]. *Multidimensional Systems and Signal Processing*, 2002, 13(3): 265 – 287.
- [3] XU S, LAM J, LIN Z, et al. Positive real control for uncertain two-dimensional systems [J]. *IEEE Transactions on Circuits and Systems I*, 2002, 49(11): 1659 – 1666.
- [4] ZHOU T. On the stability of spatially distributed systems [J]. *IEEE Transactions on Automatic Control*, 2008, 53(10): 2385 – 2391.
- [5] 向峥嵘, 陈庆伟, 胡维礼. 非线性离散系统基于观测器的反馈控制 [J]. *控制理论与应用*, 2001, 18(1): 80 – 82.
(XIANG Zhengrong, CHEN Qingwei, HU Weili. Feedback control of nonlinear discrete-time systems based on observers [J]. *Control Theory & Applications*, 2001, 18(1): 80 – 82.)
- [6] BISIACCO M. On the structure of 2D-observers [J]. *IEEE Transactions on Automatic Control*, 1986, 31(7): 676 – 680.
- [7] BISIACCO M, VALCHER M E. Unknown input observers for 2D state-space models [J]. *International Journal of Control*, 2004, 77(9): 861 – 876.
- [8] NTOGRAMATZIDIS L, CANTONI M. Detectability subspaces and observer synthesis for two-dimensional systems [J]. *Multidimensional Systems and Signal Processing*, 2012, 23(1/2): 79 – 96.
- [9] XU H, LIN Z, MAKUR A. The existence and design of functional observers for two-dimensional systems [J]. *Systems & Control Letters*, 2012, 61(2): 362 – 368.
- [10] XU H, LIN Z, MAKUR A, et al. Asymptotic unknown input observers for two-dimensional systems [C] // *The 7th International Workshop on Multidimensional (nD) Systems*. Poitiers, France: IEEE, 2011.
- [11] LIU D R. Lyapunov stability of two-dimensional digital filters with overflow nonlinearities [J]. *IEEE Transactions on Circuits and Systems I*, 1998, 45(5): 574 – 577.
- [12] WANG L, XU H, XU L, et al. Analysis and design of unknown input observers for a class of 2-D nonlinear systems [J]. *Multidimensional Systems and Signal Processing*, 2013, 24(4): 621 – 635.
- [13] RAO C, MITRA S. *Generalized Inverse of Matrices and Its Applications* [M]. New York: Wiley, 1971.
- [14] WANG W, ZOU Y. The detectability and observer design of 2-D singular systems [J]. *IEEE Transactions on Circuits and Systems I*, 2002, 49(5): 698 – 703.

作者简介:

王璐 (1976–), 女, 博士研究生, 目前研究方向: 多维系统、奇异系统, E-mail: wlulu0327@hotmail.com;

徐慧玲 (1969–), 女, 教授, 目前研究方向: 多维系统、非线性系统、奇异系统、鲁棒控制及滤波, E-mail: xuhuilin@njust.edu.cn.